

## زیست پلیمر آژینات بعنوان بستر سه بعدی جهت کشت و تمایز سلول‌های بنیادین

### مزانشیمی بافت چربی انسان به سلول‌های کندروسیت غضروف

عبدالخالق دیزجی<sup>\*</sup>، لعیا هدایی و زهرا سهیلا سهیلی

تهران، پژوهشگاه ملی مهندسی ژنتیک و زیست فناوری، علوم پایه، گروه بیوشیمی

تاریخ دریافت: ۹۲/۱/۲۰ تاریخ پذیرش: ۹۲/۶/۱۲

#### چکیده

هدف از مطالعه حاضر بررسی توانایی زیست پلیمر آژینات به عنوان بستری برای تمایز سلول‌های مزانشیمی بافت چربی انسانی به سلول‌های کندروسیت می‌باشد. بدین منظور سلول‌های بنیادی مزانشیمی از بافت چربی انسانی افراد سالم توسط کلائز نوع I جداسازی و کشت داده شدند. سپس این سلولها در بستر آژینات با استفاده از اسید اسکوربیک و TGF-β1 به کندروسیت تمایز داده شدند. توانایی بستر آژینات در تولید سلول‌های کندروسیت براساس بیان مارکرهای مولکولی مانند کلائز نوع II به روش RT-PCR و همچنین بیان پروتئوگلیکان‌های سولفاته به روش رنگ آمیزی Alcian Blue انجام گرفت. رنگ آمیزی ایمونوژیمی با آنتی بادی بر علیه Vimentin نشانگر بالای ۹۵٪ از سلول‌های بنیادین مزانشیمی بود. در رنگ آمیزی Alcian Blue در صد سلول‌های رنگ شده در سلول‌های کترول و سلول‌های کشت داده شده در بستر آژینات به ترتیب در روز سوم ( $4,9 \pm 0,5$ ٪) و در روز چهاردهم ( $2,8 \pm 0,7$ ٪) و در روز چهاردهم ( $4,5 \pm 0,7$ ٪) بود. این یافته‌ها و نسبتها در روزهای سوم و پنجم از نظر آماری اختلاف معنی دار با هم داشتند. در صد بیان کلائز نوع II سلول‌های کترول و سلول‌های کشت داده شده در بستر آژینات به ترتیب در روز سوم ( $1,4 \pm 0,5$ ٪) و در روز چهاردهم ( $2,8 \pm 0,7$ ٪) نسبت به بیان ژن GAPDH می‌باشد. بطور کلی نتایج حاصل کاربری سیستم آژینات را در مهندسی بافت برای تولید کندروسیت پیشنهاد می‌کند.

**واژه‌های کلیدی:** سلول مزانشیمی بافت چربی انسانی، داربست آژینات، تمایز به کندروسیت

\*نویسنده مسئول، تلفن: ۰۲۱۴۴۷۸۷۳۷۷، پست الکترونیکی: deezagi@nigeb.ac.ir

#### مقدمه

خاص از منبع سلولی مناسب، رشد و تکثیر آنها در داربست‌های سه بعدی تحت شرایط کشت سلولی مناسب در محیط *In vitro* و در نهایت قرار دادن این مجموعه در محل مناسب در بدن بیمار و هدایت تشکیل بافت جدید در میان داربست می‌باشد. استفاده از منبع سلولی مناسب به ویژه سلول‌های بدست آمده از فرد بیمار تا حدود زیادی موجب کاهش مشکلات مربوط به سیستم ایمنی می‌گردد (۲۰). با معرفی و شناخت پتانسیل سلول‌های بنیادی در دو دهه گذشته این سلول‌ها جایگاه ویژه‌ای را در مهندسی بافت پیدا کرده‌اند. سلول‌های بنیادی سلول‌هایی تمایز

هدف اصلی در مهندسی بافت بازسازی و یا تولید بافت یا اندام سالم برای جایگزینی بافت‌های ناسالم و یا ترمیم بافت‌های آسیب دیده یک بیمار می‌باشد. ظرفیت محدود سلول‌های بالغ یک بافت از نظر تقسیم سلولی و تکثیر و تمایز آنها به سلول‌های تمایز یافته و بخصوص عدم رگ‌زاوی کافی این سلول‌ها در محیط آزمایشگاهی از محدودیت کاربردی آنها در مهندسی بافت می‌باشد. سه جز اصلی شکل‌گیری یک بافت در مهندسی بافت نوع سلول، داربست و فاکتورهای رشد مورد استفاده می‌باشند (۱۲). لذا مهندسی بافت شامل جداسازی سلول‌های ویژه و

سلول‌هایی از مشتقات غیر مزودرمی نظیر هپاتوسيت‌ها و نورون‌ها، تمایز یابند. تمامی خصوصیات ذکر شده، سلول‌های بنیادی مزانشیمال را تبدیل به منبع سلولی مناسبی جهت کاربرد در مهندسی بافت و سلول درمانی ساخته است (۸). مشخص شده است که سلول‌های بنیادین مزانشیمالی بدست آمده از بافت چربی (ADMSC<sub>s</sub>) و مغز استخوان (BDMSC<sub>s</sub>) هیچ یک از آنتی ژن‌های تحریکی نظیر آنتی ژن‌های نوع دو HLA و همچنین مولکول‌های هم-تحریکی نظیر (CD80 و CD85) را یا بیان نمی‌کنند و یا در سطح بسیار ناچیزی بیان می‌کنند و به طور کلی این سلول‌ها ذاتاً ایمنوژنیک نبوده و استفاده از این سلول‌ها در مهندسی بافت دارای اثرات تعديل کننده سیستم ایمنی نیز می‌باشد (۵). از دیگر مسائل مطرح در مهندسی بافت تهیه و آماده سازی داربست‌های طبیعی و سنتیک به عنوان in vitro و ماتریکسی برای تکثیر و تمایز سلول‌ها در محیط بستر می‌باشد (۹). پلیمرهای سنتزی (مانند آژینات) که تحت شرایط کنترل شده تولید می‌شوند می‌توانند برای مهندسی بافت مفید باشند. در رابطه با پلیمرهای سنتزی ویژگی‌هایی نظیر خواص مکانیکی، هندسه، شیمی سطح، تعداد منافذ و... باید در نظر گرفته شود (۱۶). تاکنون مطالعات و تحقیقات زیادی در رابطه با بکارگیری سلول‌های بنیادی و تمایز آنها به بافت‌هایی نظیر بافت استخوان، غضروف و... صورت گرفته است. از جمله می‌توان تمایز سلول‌های بنیادی بدست آمده از مغز استخوان با استفاده از داربست‌های هیبریدی بتا-تری کلسیم فسفات-آلزینات-ژلاتین، تمایز سلول‌های مزانشیمالی بدست آمده از مغز استخوان به سلول‌های کندروسیت در بسترهای آژینات را ذکر کرد (۴، ۱۰ و ۱۸). با توجه به موارد ذکر شده هدف از مطالعه حاضر بررسی توانایی آژینات به عنوان ماتریکسی برای سلول‌های مزانشیمالی بدست آمده از بافت چربی انسانی در تمایز این سلول‌ها به سلول‌های کندروسیت می‌باشد.

## مواد و روشها

نیافته می‌باشند که توسط دو خصوصیت خود نوسازی (Self-renewal) و توانایی تولید انواع مختلف سلول‌های اختصاصی و اجدادی مشخص می‌شوند. در استفاده از این سلول‌ها در مهندسی بافت در جهت افزایش بازدهی، محققین با دیدگاه‌های مختلف عوامل متفاوتی را بررسی می‌کنند. از مهمترین آنها می‌توان به بررسی پتانسیل سلول‌های بنیادی از منابع مختلف بافتی، عوامل و فاکتورهای مؤثر در رشد، عوامل القا کننده تمایز و همچنین عوامل ایجاد کننده بستر و Microenvironment ... اشاره کرد. از میان سلول‌های بنیادی فرد بالغ، سلول‌های بنیادی مزانشیمالی منابع مناسبی برای مهندسی بافت می‌باشند (۲۳). این سلول‌ها برای از بافت‌های گوناگون نظیر مغز استخوان، بافت چربی و ... جداسازی و بدون از دست دادن ظرفیت و توانایی خود نوسازی خود در محیط *in vitro* کشت داده می‌شوند و در نهایت توانایی تمایز به سلول‌هایی نظیر کندروسیت‌ها، آدیپوسیت‌ها و... را دارند (۱۷). سلول‌های بنیادی مزانشیمال جمعیتی از سلول‌های بنیادین سوماتیک چند توانه می‌باشند که تاکنون در بافت‌هایی نظیر: مغز استخوان، ماهیچه اسکلتی، مغز، بافت-چربی، خون بدناف، خون محیطی و بافت‌های پیوندی پوشی شناسایی شده‌اند. سلول‌های مزانشیمالی، برای مارکرهای سطحی شامل CD (29, 44, 105, 106 and 166) 73, 90, 90, HLA-DR می‌باشند (۳). این سلول‌ها صرف‌نظر از منبع مربوط به آن، در پاره‌ای از خصوصیات نظیر: توانایی تکثیر و خود نوسازی طولانی مدت تحت شرایط کنترل شده کشت سلول، مرفوولوژی دوکی شکل-فیروblast مانند و پتانسیل تمایز به دودمان مزودرمی و حتی غیر مزودرمی، مشترک می‌باشند (۱۹). سلول‌های مزانشیمالی، پتانسیل تمایز به سلول‌های مزودرم احتسابی، استئوبلاست، آدیپوسیت، کندروسیت و مایوسیت، را دارا می‌باشند. همچنین مطالعات اخیر نشان داده‌اند که در ریز محیط مناسب، سلول‌های مزانشیمالی می‌توانند به کاردیومیوسیت و یا حتی

**cyto chemistry :** پس از تهیه لام از سلول‌های جداسازی شده توسط دستگاه سیتوسانتریفوژ (Tharmac Cell Spin) به مدت ۱۵ دقیقه، سلول‌ها ابتدا توسط دور ۱۵۰ rpm مدت ۵ دقیقه ثبیت شدند. سپس متانول در دمای ۱۰°C به مدت ۵ دقیقه ثبیت شدند. سپس نمونه‌ها با محلول بلوکه کننده (محلول بافر فسفات سالین PBST حاوی ۱۰٪ سرم موشی) به مدت ۲۰ دقیقه، به منظور مهار اتصال‌های غیر اختصاصی آنتی‌بادی انکوبه شدند. پس از پایان ۲۰ دقیقه شستشو با PBST انجام گرفت. سپس آنتی‌بادی اولیه Anti-Monoclonal Mouse (DAKO) human vimentin با غلظت ۲ µg/ml در محلول PBST حاوی ۱/۵٪ سرم موشی اضافه و به مدت ۱ ساعت در دمای اتاق انکوبه شد. بعد از سه بار شستشو با محلول Goat Anti Mouse PBST نمونه‌ها توسط آنتی‌بادی ثانویه IgG (Calbiochem) با غلظت ۱ µg/ml در محلول PBST به مدت ۴۵ دقیقه در دمای اتاق انکوبه شدند. لام‌ها بعد از سه بار شستشو با PBST با سویسترای دی آمینو بتزیدین DAB انکوبه شده و بعد از شستشو جهت میانکنش اختصاصی مورد بررسی قرار گرفتند.

لام‌های تهیه شده در زیر میکروسکوپ بررسی و در هر لام ۲۰۰ سلول جهت شناسایی درصد سلول‌های رنگ شده و رنگ نشده شمارش گردید.

تهیه بستر و مهره‌های آژینات: تهیه بستر سه بعدی و مهره‌های آژینات برای کشت سلول‌های مزانشیمی براساس روش کار Bucco و همکارانش انجام گرفت. روش کار بطور خلاصه به شرح زیر است. مهره‌های آژینات از طریق مخلوط سازی ۲ الی ۳ میلیون سلول بصورت سوسپانسیون سلولی ( $2 \times 10^6$  سلول در هر ۱ml) با ۳ml آژینات ۴٪ (low-Viscosity Alginic acid, Sigma, St.Louis, MO, USA) استریل ۱۰cc تهیه شدند. سوسپانسیون حاصل به سرنگ ۲۱ سوزن درجه به روش قطره‌ای بیان شدند. سپس عمل ژلاسیون درجه به روش قطره‌ای بیان شدند. سپس عمل هضم بافت چربی زیر جلد انسانی از طریق آسپیراسیون بافت چربی زیر جلد از افراد سالم با رضایت بیماران توسط جراح تهیه شد. لیپوآسپیره حاصل به دفعات توسط بافر شستشو دهنده (Hanks Balanced Salt Sigma, St.Louis, MO, USA) Solution (Fluka, HBSS) ۲۰۰mg استرپتومایسین (Fulka, Switzerland) و ۱۲۰mg سیلین (Switzerland) شستشو داده شد. سپس عمل هضم بافت توسط ۰.۲۵mg/ml کلائزاز نوع I (200unit/mg) (شرکت Calbiochem) در محلول HBSS به مدت ۲ ساعت در ۳۷°C صورت گرفت سپس سلول‌های آدیپوسیت شناور از طریق سانتریفوژ از سلول‌های بنیادی ته نشین شده جداسازی شدند.

شمارش سلولی و تعیین درصد سلول‌های زنده: در تمام مراحل کار برای شمارش سلولی از رنگ متیلن بلو و... برای تعیین درصد سلول‌های زنده از روش رنگ‌آمیزی تریپان بلو استفاده شد، تعداد کل سلولی و درصد سلول‌های زنده با استفاده از لام نئوبار (Hemocytometer) در زیر میکروسکوپ نوری شمارش شد.

کشت سلول‌های مزانشیمی: سلول‌های حاصل در فلاسک‌های کشت سلول ۷۵cm<sup>2</sup> و در محیط کشت Dulbecco's Modified Eagle Medium (DMEM) سلولی FBS (Fetal Bovine (Gibco, Grand Island, NY), ۰٪ ۲۰ Serum), ۱۲۰ mg استرپتومایسین و ۵۰۰۰ cell/cm<sup>2</sup> سیلین، به تعداد تقریبی ۰/۲۵ ٪ تریپسین - ۱mM EDTA جداسازی شده و به مدت ۲ هفته در محیط یک کشت داده شدند. پس از ۴-۳ پاساژ سلول‌ها در محیط سه بعدی آژینات کشت و به سلول‌های کندروسیت تمایز داده شدند.

شناسایی و تعیین خصوصیات سلول‌های مزانشیمی جداسازی شده به روش ایمونو سیتوشیمی Immuno

دقیقه قرار گرفتند و در نهایت پس از شستشو با آب مقطر، لام‌ها با ریختن یک قطره چسب هیستوشیمی بر روی لام‌ها قرار گرفتند. لام‌های تهیه شده در زیر میکروسکوپ بررسی و در هر لام ۲۰۰ سلول جهت شناسایی سلول‌های رنگ شده و رنگ نشده شمارش گردید.

**استخراج RNA و انجام RT-PCR برای بیان ژن کلارن**  
**نوع II:** استخراج RNA کل به صورت‌های مختلف انجام می‌شود. در این تحقیق استخراج RNA با استفاده از محلول RNX (شرکت سینا ژن) انجام گرفت. جهت خارج سازی RNA سلول‌ها از مهره‌های آلتینات و در نهایت استخراج RNA کل، پس از خارج نمودن محیط کشت، مهره‌ها توسط محلول بافر PBS شستشو داده شدند و سپس محلول EDTA ۴۰mM به مدت ۱۵ دقیقه جهت هضم آلتینات به پلیت اضافه گردید و در پایان با انجام سانتریفیوژ (دور ۲۰۰۰g، به مدت ۵ دقیقه در دمای ۴ درجه سانتیگراد) سلول‌ها رسوب داده شده و آلتینات و EDTA از محیط حذف شدند. پس از جمع‌آوری و رسوب‌دهی سلول‌ها، به ازای هر ۱ میلیون سلول معادل ۱ میلی‌لیتر محلول RNX به ویال‌های مورد نظر افزوده گردید. سپس ویال‌ها به مدت ۵ دقیقه در دمای اتاق قرار داده شدند. لیز بیشتر سلول‌ها، توسط سرنگ ۱ml به همراه سرسرنگ درجه ۲۰ صورت گرفت. برای این منظور سوسپانسیون سلولی ۲۰ مرتبه از داخل سرنگ عبور داده شد.

پس از تعیین غلظت RNAهای استخراج شده، از مقدار غلظت یکسان ۱۳۰۰ng RNA، برای ساخت cDNA استفاده شد. ساخت cDNA طبق بروشور کیت Fermentase با اضافه کردن میزان RNAهای تعیین شده به مواد ارائه شده در کیت، به صورت یک مرحله‌ای در دستگاه PCR انجام گرفت.

پس از ستز cDNA، واکنش PCR به منظور ردیابی بیان ژن کلارن تیپ دو (به عنوان ژن اختصاصی سلول‌های کندروسیت) و ژن GAPDH (به عنوان

مهره‌ها به طور آنی در ۵ml محلول ۰۲ mM CaCl<sub>2</sub> در پلیت ۶-Well (۲۰۰ مهره در هر خانه، هر مهره به طور تقریبی شامل ۱۰<sup>۴</sup> × ۵) صورت گرفت. سپس مهره‌ها به مدت ۱۵ دقیقه به منظور ژلاسیون بیشتر در داخل محلول CaCl<sub>2</sub> قرار گرفتند. پس از آن مهره‌ها سه بار توسط DMEM-HG (DMEM- ۰/۱۵ mM Nacl high glucose) شستشو داده شدند. مهره‌ها سپس به مدت ۱۴ روز در محیط تمایزی شامل DMEM-HG، مکمل ۱×insulin- Transferrin- Selenium (ITS<sup>+</sup>، Roche,) و ۵۰ µg TGF- β1(Roche) کشت داده شدند. محیط ذکر شده هر سه روز یکبار تعویض شد.

**تهیه بلوک از مهره‌های آلتینات حاوی سلولها و رنگ-آمیزی Alcian blue :** مهره‌های آلتینات حاوی سلول‌های تیمار شده جمع‌آوری و به مدت ۲۴ ساعت در پارافرمالدئید ۴٪ در دمای ۴°C ثبیت شدند. سپس سه بار توسط محلول بافر PBS شستشو و مراحل آبگیری توسط درجات صعودی الکل صورت گرفت. سپس عمل پارافینه کردن بر اساس روش‌های پارافینه کردن استاندارد صورت گرفت. مهره‌های پارافینه شده حاصل توسط دستگاه میکروتوم به ضخامت ۵µm برش داده شدند و در نهایت برای شناسایی پروتئولیکان‌های سولفاته توسط رنگ‌آمیزی Alcian blue (Sigma St.Louis, MO, USA) براساس روش کار Steedman رنگ‌آمیزی شدند (۲۱).

برای رنگ‌آمیزی نمونه‌ها در ابتدا عمل آبدهی به ترتیب با قرارگیری نمونه‌های پارافینه شده در Xylene در دو تکرار دقیقه‌ای و سپس با قرارگیری در درجات نزولی الکل شامل الكلهای ۱۰۰، ۹۰ و ۷۰٪ و هر مرحله به مدت ۵ دقیقه در دمای اتاق، صورت پذیرفت. سپس برای رنگ‌آمیزی، در ابتدا نمونه‌ها و اسیداستیک ۳٪ هر کدام به مدت ۵ دقیقه، سپس به مدت ۳۰ دقیقه در رنگ Alcian blue و پس از شستشو با آب مقطر در رنگ Neutlar fast red به مدت ۱۰

به آنها اشاره شد. در زمان استفاده از آنزیم تریپسین-EDTA، ۹۹٪ سلول‌های جداسازی شده شامل سلول‌های آدیپوسیت بودند و تنها یک درصد سلول‌های جداسازی شده را سلول‌های مزانشیمی تشکیل می‌دادند چرا که این آنزیم به طور کامل، قادر به هضم بافت چربی نمی‌باشد. که این امر، دال بر عدم کارایی موفق این آنزیم جهت جداسازی سلول‌های مزانشیمی از این بافت می‌باشد. در عوض آنزیم کلاژنаз تیپ یک، آنزیم مؤثری جهت تفکیک بافت و جداسازی سلول‌ها می‌باشد.

درصد بقای سلولی در تمامی تکرارها بالای ۹۸٪ تعیین شد. شایان ذکر است با توجه به محدوده سنی افرادی که مورد عمل قرارگرفته بودند (۲۵-۳۵ سال)، در مورد تمامی نمونه‌های تهیه شده توان بقای سلولی و ورود سلول‌های بنیادی به حالت فیزیولوژیک فعال، جهت انجام تست‌های بعدی به طور مشابهی یکسان بود.

در جدول ۱ شمارش سلول‌ها بعد از مرحله جداسازی نشان داده شده است، نتایج نشان می‌دهد که صرف نظر از حجم‌های متفاوت از نمونه لیپوآسپیره (۴۰-۱۰۰ ml) داده‌ها از نظر تعداد سلول‌های بدست آمده از روند خاصی تعیت می‌کند نتایج تعداد سلول‌ها در مرحله نهایی تا حد زیادی منطقی است و از یک روند مشخص مطابق با داده‌های موجود در مقالات تعیت می‌کند.

(gene) صورت پذیرفت. پس از تهیه مخلوط واکنش (ذکر شده در بخش مواد) و ورتكس کردن، مجموعه مذکور به دستگاه Thermal cycler منتقل گردید.

محصولات پس از الکتروفورز بر روی ژل آگاروز در محلول اتیدیوم بروماید به مدت ۱۰ دقیقه رنگ‌آمیزی شد. پس از رنگ‌آمیزی و شستن ژل در آب مقطر، تصویر ژل توسط دستگاه UV Transluminator UV tec عکسبرداری گردید. با توجه به پرایمرهای GAPDH انتخاب شده، طول قطعات ستر شده مربوط به ۳۶۱ bp و کلاژن تیپ دو به ترتیب برابر ۵۲۰ و ۲۶۱ می‌باشد. باندهای حاصل توسط برنامه Total Lab به صورت کمی در آمدند و سپس عمل نرم‌افزاری داده‌ها بوسیله داده‌های مربوط به Housekeeping gene مربوط به gene گرفت.

**روش‌های آماری:** برای آنالیز آماری نتایج به دست آمده از برنامه One way Anova به صورت online استفاده شد.

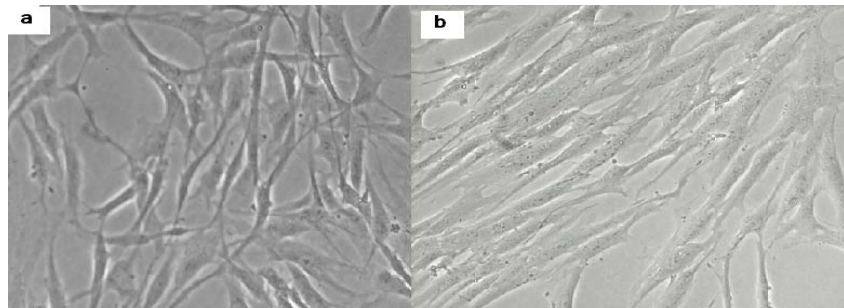
#### یافته‌ها

جداسازی و هضم آنزیمی بافت: نمونه‌های لیپوآسپیره تهیه شده دارای حجم تقریبی بین ۴۰-۱۰۰ ml بوده و وزن آن‌ها پس از اندازه‌گیری در حدود ۸۰-۱۴۰ gr برآورده شد. جهت جداسازی سلول‌ها از دو آنزیم تریپسین-EDTA و کلاژنаз تیپ یک استفاده به عمل آمد که در بخش مواد و روش‌ها

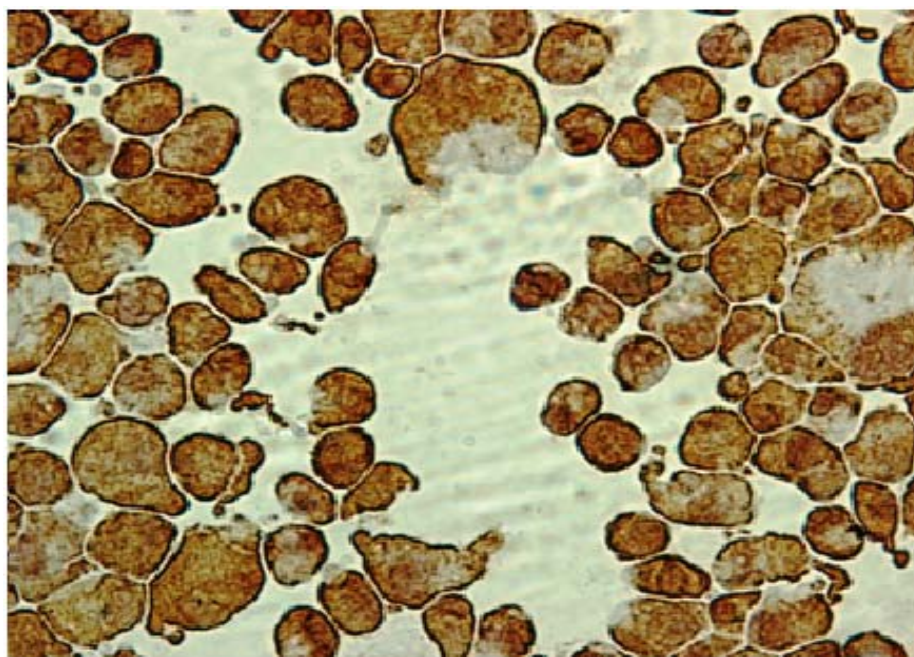
جدول ۱- درصد نهایی سلول‌های بنیادی مزانشیمی جدا شده از نمونه لیپوآسپیره

نمونه	تریپسین- (T)EDTA	حجم اولیه نمونه (ml)	حجم نهایی نمونه نمونه (ml)	وزن نهایی نمونه (gr)	تعداد کل سلول‌های مزانشیمی پس از هضم بافت چربی × وزن نهایی بافت)	تعداد سلول‌های مزانشیمی جداسازی شده به تعداد کل سلول‌ های	درصد سلول‌های مزانشیمی جداسازی
	کلاژناز تیپ (C) I			(پس از حذف بخش ببخش خونی (ml))	(تعداد سلول‌های موجود در بافت*) × وزن نهایی بافت)		
۱	T	۱۰۰	۵۵	۱۰	$4 \times 10^9$	•	•
۲	C	۶۰	۵۰	۱۰۱	$4.04 \times 10^{10}$	$2.04 \times 10^5$	$5.07 \times 10^{-3}$
۳	C	۴۰	۲۳	۵۹	$2.36 \times 10^{10}$	$1 \times 10^5$	$4.23 \times 10^{-3}$
۴	C	۹۰	۶۵	۸۰	$3.2 \times 10^{10}$	$3 \times 10^5$	$9.37 \times 10^{-3}$
۵	C	۵۰	۴۲	۷۱/۲	$2.85 \times 10^{10}$	$1.45 \times 10^5$	$5.08 \times 10^{-3}$
۶	C	۵۵	۴۰	۷۰	$2.8 \times 10^{10}$	$1.15 \times 10^5$	$4.1 \times 10^{-3}$
۷	C	۷۵	۶۴	۹۵	$3.8 \times 10^{10}$	$2.1 \times 10^5$	$5.52 \times 10^{-3}$

رطوبت و دمای  $37^{\circ}\text{C}$  نگهداری شدن و با تراکم  $5 \times 10^4$  سلول در هر سانتی‌مترمربع در ظروف کشت سلولی کشت داده می‌شدند و در نهایت پس از ۷-۸ روز استفاده می‌شدند. تست‌های ذکر شده در بخش روش‌ها استفاده می‌شدند. شایان به ذکر است که سلول‌ها در تمامی پاساژها دارای خصوصیات مرغولوژیک یکسان بوده و تفاوتی در ظاهر و یا بقای آن‌ها مشاهده نشد (شکل ۱).



شکل ۱- a- سلول‌های مزانشیمی در پاساژ دوم b- سلول‌های مزانشیمی در پاساژ هشتم (بزرگنمایی  $22 \times 10$ )



شکل ۲- تصویر سلول‌های مزانشیمی در روش ایمونو‌هیستوشیمی با آنتی‌بادی بر علیه Vimentin میانکش داده و سپس توسط سوبستراتی DAB در طی واکنش آنزیمی رنگ شده‌اند (بزرگنمایی  $40 \times 10$ ).

Biotin-conjugated monoclonal mouse anti-vimentin antibody (Monoclonal mouse anti-vimentin) was used to detect vimentin in the cells. The antibody was able to recognize vimentin in the cells, indicating the presence of vimentin filaments.

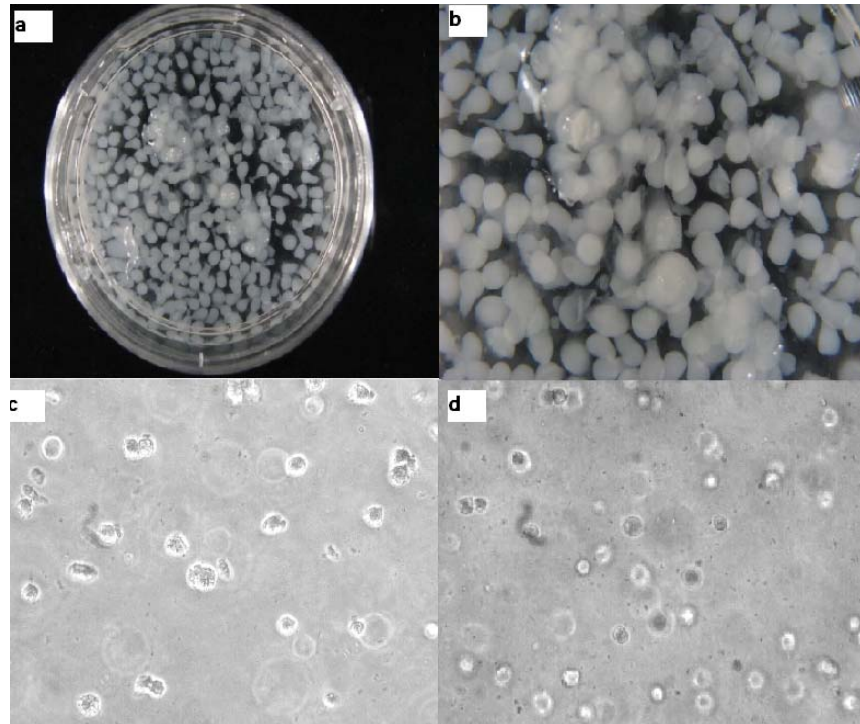
**کشت سلول‌های بنیادین مزانشیمی:** سلول‌های بنیادین مزانشیمی سلول‌های چسبنده هستند که از لحاظ مرغولوژیک، بسیار شبیه سلول‌های فیبروبلاست می‌باشند و در محیط کشت سلولی به صورت اشکال دوکی شکل و کشیده، همراه با زوائد سیتوپلاسمی منشعب مشاهده می‌شوند. این سلول‌ها در محیط کشت DMEM حاوی  $20\%$  سرم FBS و در انکوباتور در شرایط  $\text{CO}_2$   $5\%$   $95\%$  در انسدادهای پلی‌آمیدی رشد می‌کنند.

ICC: به منظور تأیید سلول‌های مزانشیمی کشت شده به عنوان سلول‌های بنیادی مزانشیمی از روش ICC و

کندروسیت در داخل مهره‌های آژینات و بر روی ظروف کشت سلولی معمول به عنوان کترل، کشت داده شدند و برای تمایز محیط تمایزی مطرح شده در بخش مواد به آن-ها افروده گردید و هر سه روز یکبار این محیط تعویض شد. آنچه در رابطه با سلول‌های کشت داده شده در ظروف کشت طبیعی (کترل) بیشتر سلول‌ها چسبندگی خود را با سطح حفظ کرده، اما در ارتباط با مهره‌های آژینات سلول‌ها پس از قرارگرفتن در مهره‌های آژینات سلول‌ها به صورت گرد در داخل مهره‌ها مشاهده شدند (شکل ۳).

میکروسکوپ، ۹۹٪ سلول‌های شمارش شده، توسط این آنتی‌بادی شناسایی شده و در رنگ‌آمیزی نهایی توسط رنگ DAB به رنگ قهقهه‌ای در آمده بودند، که این نتایج دال بر خلوص سلول‌های جداسازی شده به عنوان سلول‌های بنیادی مزانشیمی می‌باشند (شکل ۲).

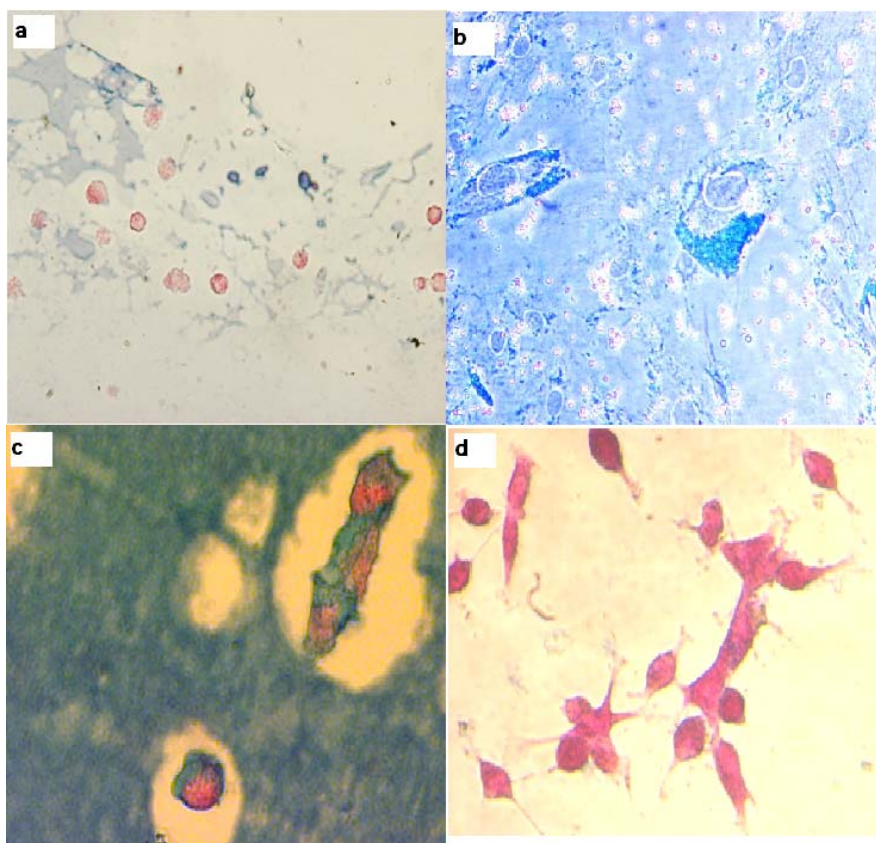
تمایز سلول‌های مزانشیمی به سلول‌های کندروسیت با بکارگیری داربست‌های آژینات: پس از تأیید سلول‌های جداسازی شده، به عنوان سلول‌های مزانشیمی و تکثیر آن-ها، در نهایت این سلول‌ها جهت تمایز به سلول‌های



شکل ۳- تصویر مهره‌های آژینات تهیه شده به روش قطره‌ای a-برگنمایی  $1\times 10^5$  b-برگنمایی  $1\times 10^5$  c-تصویر سلول‌ها درون مهره‌ها  
ی آژینات بزرگنمایی  $10\times 32$

و ۱۴ توسط آلسین بلورنگ‌آمیزی شدند و در هر بار ۲۰۰ سلول جهت تعیین سلول‌های مثبت (سلول‌های رنگ شده) و سلول‌های منفی (سلول‌های رنگ نشده)، شمارش گردید. در اثر سلول رنگ‌آمیزی سلول‌ها توسط آلسین بلور بخش‌های رنگ شده به رنگ آبی و هسته و سیتوپلاسم در نتیجه رنگ‌آمیزی بوسیله رنگ Neutral fast red به رنگ صورتی در می‌آیند (شکل ۴).

**رنگ آمیزی Alcian blue:** رنگ‌آمیزی فوق به منظور شناسایی گلیکوز‌آمینوگلیکان‌های سولفاته (GAGs) (که به طور فراوان در ماتریکس خارج سلولی کندروسیت‌ها وجود دارند) و جهت تأیید تمایز سلول‌های مزانشیمی به سلول‌های کندروسیت، انجام شد. برای این منظور سلول‌های کترل و سلول‌های درون مهره‌های آژینات به روش-های شرح داده شده در بخش روش‌ها در روزهای ۳، ۵، ۷

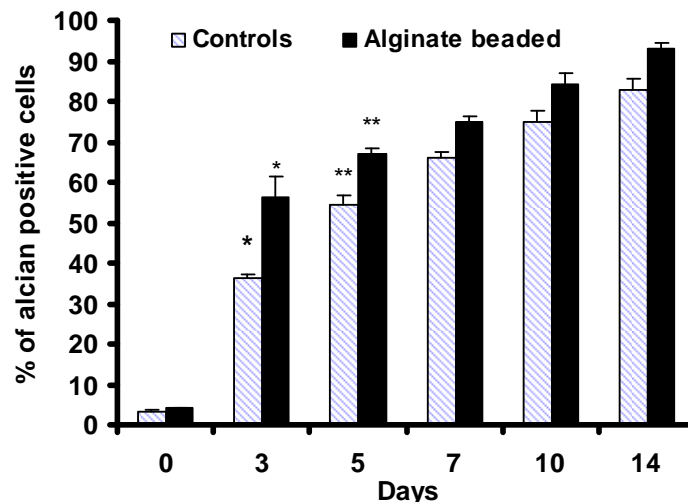


شکل ۴- تصویر سلول های مزانشیمی تمایز یافته به سلولهای کندروسیت در بستر آژینات که با رنگ آمیزی آلشین بلورنگ شده اند a- بزرگنمایی  $10\times 10$  -b- بزرگنمایی  $40\times 40$  -c- تصویر سلول های مهره های آژینات بزرگنمایی  $22\times 22$ -d- سلولهای کنترل بزرگنمایی  $40\times 40$

**بیان کلاژن نوع II به روش RT-PCR:** استخراج RNA از نمونه های کنترل و نمونه های مربوط به آژینات در روزهای ۳، ۵، ۷، ۱۰ و ۱۴ به منظور استفاده در RT-PCR انجام گرفت. میزان خلوص RNA استخراج شده از نمونه ها، بوسیله اندازه گیری نسبت جذبی  $260/280$  نانومتر تعیین گردید. پس از تعیین غلظت های استخراج شده، با توجه به کمترین غلظت استخراج شده میزان یکسان  $1300$  نانو گرم RNA از تمامی نمونه ها جهت ساخت cDNA استفاده شد و در نهایت مطابق آنچه در بخش روش ها ارائه شد، واکنش PCR برای ژن های کلاژن تیپ دو (به عنوان مارکر سلول های کندروسیت) و ژن GAPDH (به عنوان Housekeeping gene) انجام شد و در پایان محصولات PCR بر روی ژل آگارز  $2\%$  برده شد که در شکل ۶ قابل مشاهده می باشد. با توجه به پرایمرهای انتخاب شده، طول

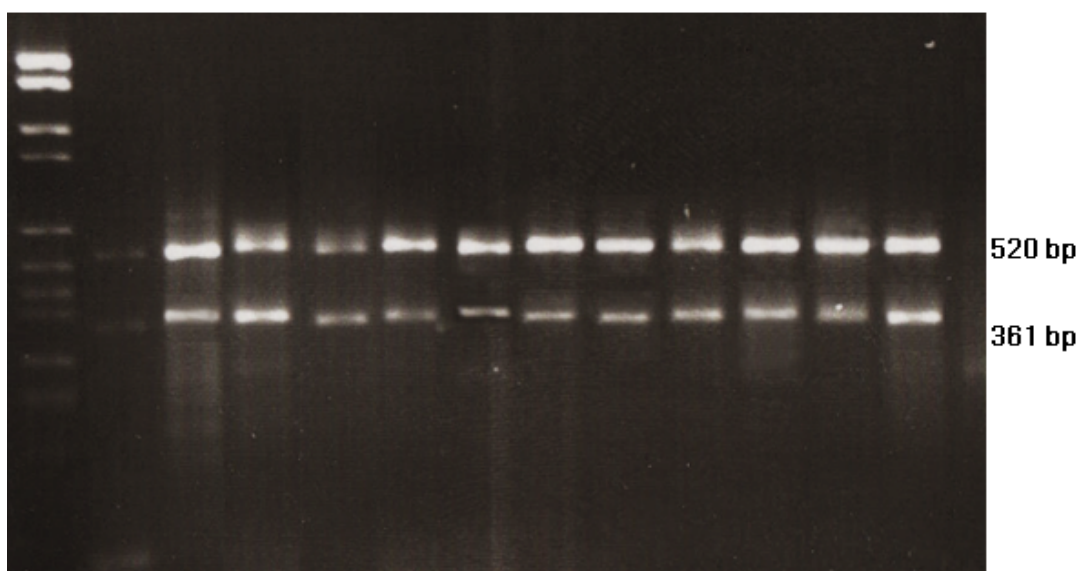
در رنگ آمیزی Alcian blue سلول های درون مهره های آژینات به همراه محیط تمایزی در مقایسه با سلول های درون مهره ها در شرایط کنترل نشان دهنده بیان گلیکوپروتئو گلیکان های سولفاته و در نهایت تمایز این سلول ها به سلول های کندروسیت می باشد. لازم به ذکر است که آزمایش فوق سه بار تکرار گردید و نتایج حاصل از شمارش در شکل ۵ به صورت درصد میانگین سلول های مثبت در هر روز، قابل مشاهده می باشند. درصد سلول های رنگ شده در سلول های کنترل و سلول های کشت داده شده در بستر آژینات به ترتیب در روز سوم ( $56,5 \pm 4,9$ ) و ( $36,5 \pm 0,7$ ) و در روز چهاردهم ( $93 \pm 2,8$  و  $83 \pm 2,8$ ) نسبت به کل سلول های شمارش شده می باشد. این یافته ها و نسبتها در روزهای سوم و پنجم از نظر آماری اختلاف معنی دار با هم داشتند.

قطعات سنتز شده مربوط به GAPDH و کلاژن تیپ دو به ترتیب برابر ۵۲۰ و ۳۶۱ bp می‌باشد.



شکل ۵- نمودار درصد سلول‌های کنترل و کشت شده در بستر آژینات رنگ شده توسط آلشین بلو در روزهای ۳، ۵، ۷، ۱۰ و ۱۴.

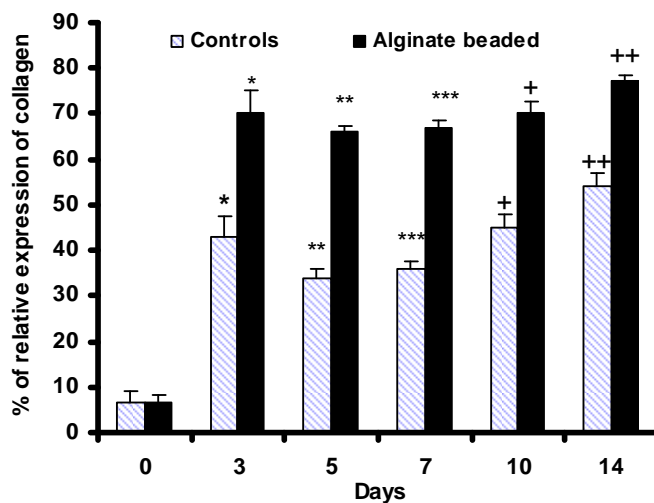
MW Neg Pos Pos C3 C5 C7 C14 Alg3 Alg5 Alg7 Alg10 Alg14



شکل ۶- تصویر الکتروفورز محصولات PCR مربوط به تکثیر توالی کلاژن تیپ دو و GAPDH بر روی ژل آکارز. MW- مارکر مولکولی DNA Neg , Pos , C3-5 - نمونه های کنترل مثبت و کنترل منفی. C3-5- نمونه های کنترل (به ترتیب روزهای ۳، ۵، ۷ و ۱۴). Alg3-14- نمونه های آژینات (به ترتیب روزهای ۳، ۵، ۷ و ۱۰ و ۱۴).

نوع II در سلول‌های درون مهره‌های آژینات مشاهده می‌شود. بطوريکه درصد بيان کلاژن نوع II سلولهای کنترل و کشت داده شده در بستر آژینات به ترتیب در روز سوم (۵ $\pm$  ۰,۴)، (۴۳ $\pm$  ۰,۴) و در روز چهاردهم (۷۷ $\pm$  ۰,۸) و (۷۰ $\pm$  ۰,۵) نسبت به بيان ژن GAPDH می‌باشد.

باندهای حاصل توسط برنامه Total Lab به صورت کمی در آمدند و سپس عمل نرم‌السازی داده‌ها بوسیله داده‌های مربوط به Housekeeping gene صورت گرفته و نتایج حاصل براساس داده‌های بدست آمده در شکل ۷ نشان داده شده است. با توجه به نمودار فوق، بیشترین بيان کلاژن



شکل ۷- درصد بیان کالژن نوع دو در سلول های کنترل و آلزینات در روز های ۳، ۵، ۷، ۱۰ و ۱۴

مناسب و امید بخش برای درمان آسیب‌های غضروفی می باشد (۷).

توانایی سلول‌های بنیادی مزانشیمال چه از منابع مغز استخوان و چه از بافت چربی در تمایز به سلول‌های غضروفی این سلول‌ها را منبع مناسبی برای ایجاد غضروف می‌سازد و فنوتیپ غضروفی و بقا آن در این سلول‌ها توسط  $TGF-\beta_1$  القا می‌شود (۲۵).

در مطالعه صورت گرفته، نشان داده شد که بافت چربی انسانی، منبع بافتی مناسبی برای جداسازی سلول‌های بنیادی مزانشیمال می‌باشد چرا که این بافت به راحتی و به طور روتین در مقادیر لیتری از جراحی‌های لیپوساکشن در دسترس می‌باشد و بازده سلولی آن (۱-۵٪/۰۰۱-۰۰۱٪) بسیار بالاتر می‌باشد (۱۵). سلول‌های بنیادی بدست آمده از بافت چربی hASC سلول‌هایی چند توانه بوده و قادر به بیان خصوصیات بیوشیمیایی آدیپوسیت‌ها، استئوبلاست‌ها، کندروسیت‌ها و مایوسیت‌ها تحت شرایط کشت مناسب می‌باشند. همچنین نشان داده‌اند که قادر به برآورده ساختن بسیاری از انتظارات نظری آنچه در بالا مطرح شد می‌باشند و توانایی تولید تعداد کافی سلول جهت کاربردهای مهندسی بافت را

## بحث

تحقیقات جهت تولید بافت‌ها در محیط آزمایشگاهی قبل از کاشت در درون بدن، یک حوزه تحقیقاتی بسیار گسترده می‌باشد. این تحقیقات بیشتر تکیه بر کشت جمعیت‌های ویژه سلولی در *Ex vivo* در سطح و یا در داخل داربست‌های سنتزی و یا طبیعی که مناسب انتقال به بدن و پیوند *Ex vivo* عضو دارد. کنترل رفتار جمعیت سلولی در محیط *Ex vivo* و همچنین توجه به پاسخ آن‌ها در محیط میزبان بسیار مهم می‌باشد. ظرفیت محدود غضروف مفصلی در ترمیم و بازسازی ذاتی خود، به فقدان سیستم عروقی و همچنین به میزان کم و پراکنده سلول‌های کندروسیت در ماتریکس خارج سلولی در این بافت نسبت داده می‌شود و در پی این محدودیت، یک جراحت و آسیب کوچک منجر به صدمه و تخریب مفصل می‌شود. گرچه متدهای بی‌شماری نظری *Osteochondral allografting*, *Subchondral drilling* در جهت ترمیم ضایعات غضروفی انجام گرفته‌اند اما این تکنیک‌ها، قادر به باز تولیدی خصوصیات بافت غضروف نمی‌باشند. اما امروزه ثابت شده است که تکنیک مهندسی بافت بر پایه سلول‌های بنیادی، یکی از مهمترین درمان‌های

مطالعات قبلی در رابطه با این سایتوکاین، می‌باشد. برخی از محققین نشان داده‌اند که سلول‌ها قابلیت تمایز در بسترهايی مانند آگار، آلرینات، ژلاتین و حتی محیط‌های سوسپانسیون که توانایی حفظ شکل گرد شده کندروسیتی را داشته باشند، دارند و به نظر می‌رسد وجود این بسترها برای حفظ فنتویپ سلول‌ها ضروری می‌باشد (۲۴).

در مقایسه با سیستم‌های کشت شرح داده شده به صورت سیستم‌های کشت تک لایه دو بعدی برای کشت سلول‌های غضروفی، امروزه تکنیک‌های کشت سلول سه بعدی با هدف تولید داریست‌های متخلخل که موجب تسهیل اتصال سلول و رشد آن‌ها می‌شوند، با بکارگیری انواع گسترده‌ای از بیومواد شامل پلیمرهای ستری تا پلیمرهای طبیعی، بسیار توسعه یافته اند و در این میان بیشترین استفاده از سیستم‌های کشت مربوط به ژل آگارز که موجب تحریک شبکه‌های سه بعدی پروتئوگلیکان‌ها در طی کشت می‌شود، به عمل آمده است (۱).

در رابطه با مرفولوژی سلول‌ها همان طور که بیان شد با انتقال سلول‌های مزانشیمال به درون مهره‌های آلرینات و تمایز این سلول‌ها به سلول‌های کندروسیت، سلول‌ها فنتویپ ویژه کندروسیتی را از خود نشان داده و به شکل گرد در آمدند. در حالیکه سلول‌ها در شرایط کنترل و بر روی ظروف کشت معمولی (پلاستیک) پس از تمایز نیز مرفولوژی فیبروبلاستی شکل خود را حفظ کرده و به صورت چسبیده به سطح باقی می‌مانند و تنها تعداد محدودی از سلول‌ها (کمتر از ۱٪) فنتویپ ویژه کندروسیتی را از خود نشان دادند. پایداری فنتویپ کندروسیتی مشکل اصلی و اساسی در مطالعات *In vitro* در رابطه با مهندسی بافت غضروف می‌باشد. نکته قابل توجه این است که بقاء فنتویپ ویژه غضروفی برای حفظ ساختار و خصوصیات بیومکانیکی غضروف بسیار مهم می‌باشد (۲۲).

همان طور که در بخش نتایج نشان داده شد در رنگ‌آمیزی هیستوشیمیابی توسط آلشین بلو، سلول‌های مزانشیمال پس

دارا می‌باشند (۱۱). همچنین در طی این مطالعه نشان داده شده که سلول‌های مزانشیمال جداسازی شده از بافت چربی بدون از دست دادن خصوصیات مرفولوژیک خود دارای توانایی تکثیر بالایی در محیط کشت می‌باشند.

بسیاری از تحقیقات تاکنون شرایط ضروری جهت غضروفزایی برای سلول‌های مزانشیمی انسانی نظیر محیط‌های کشت سه بعدی، فاکتورهای رشد، محیط‌های رشد با میزان کم سرم و یا فاقد سرم را نشان داده‌اند (۲۴).

*Ballock* و همکارانش نشان دادند که دستکاری و تغییرات غلاظت سرم به سطوح مطلوب کمتر از ۰/۱ و ۰/۰ درصد در محیط کشت تمایزی ایجاد غضروف منجر به تشکیل جنبه‌های ایجاد توسعه در معماری غضروف می‌شود (۲).

در مطالعات صورت گرفته، چندین سیتوکاین گزارش شده‌اند که در تبدیل سلول‌های مزانشیمال به سلول‌های کندروسیت مؤثر می‌باشند. در این میان **TGF-β** در استخوان بسیار متراکم می‌باشد و مقدار آن متجاوز از **TGF-β** ۲۰  $\mu\text{g/kg}$  در بافت می‌باشد. این فراوانی در میزان **TGF-β** بیان کننده نقش مهم این سیتوکاین در این بافت می‌باشد (۱۳). برخی دیگر از محققین نشان داده‌اند که چندین عضو از خانواده **TGF-β**، نقش مهمی را در تمایز غضروفی ایفا می‌کنند (۲۴).

در مطالعه انجام شده، ما از **TGF-β<sub>1</sub>** به منظور تمایز سلول‌های مزانشیمال به سلول‌های کندروسیت استفاده کردیم و با توجه به نتایج حاصل از رنگ‌آمیزی هیستوشیمی صورت گرفته توسط آلشین بلو و بیان **RT-PCR** و بیان ژن کلازن تیپ دو به عنوان مارکر سلول‌های کندروسیت در شرایط کشت کنترل و آلرینات و در مقایسه با کنترل منفی مربوط به سلول‌های مزانشیمی در روز صفر، نشان داده شد که **TGF-β<sub>1</sub>** فاکتور رشد مؤثری در تمایز سلول‌های مزانشیمی به سلول‌های کندروسیت و القاء فنتویپ ویژه غضروفی در این سلول‌ها در جهت تأیید

ژن کلازن تیپ دو به عنوان یک ژن مشخص در سلول‌های کندروسیت به روش RT-PCR می‌توان اشاره کرد. پس از PCR نرمال سازی داده‌های بدست آمده از محصولات PCR مربوط به تکثیر توالی کلازن تیپ دو نسبت به Housekeeping gene(GAPDH) مشخص شد که بیان این ژن در روزهای مختلف تمایز در ارتباط با سلول‌های درون آژینات بیشتر از دو شرایط دیگر می‌باشد و بیشترین میزان بیان در روز چهاردهم از تمایز مشاهده گردید. این نتایج نیز در تأیید نتایج حاصل از رنگ‌آمیزی هیستوشیمیابی توسط آلتین بلو، نشانه آن است که سلول‌های مزانشیمال بیشتری درون مهره‌های آژینات به سلول‌های کندروسیت تمایز می‌یابند و بیان قویتری برای این سلول‌ها در رابطه با کلازن تیپ دو در شرایط آژینات نسبت به کنترل تفاوت معنی‌داری در میزان بیان این ژن در آن‌ها مشاهده می‌شود.

با توجه به نتایج و بحثهای ارائه شده می‌توان نتیجه‌گیری کرد که زیست پلیمر و مهره‌های آژینات می‌تواند یک سیستم *In vitro* مناسب جهت کاربری در تولید و مهندسی بافت غضروف انسانی باشند.

از تمایز به سلول‌های کندروسیت در شرایط ذکر شده آژینات پروتئوگلیکان‌های سولفاته را که به طور فراوان در سلول‌های کندروسیت یافت می‌شود، را بیان کردند. که این رنگ‌آمیزی مثبت خود، تأیید کننده تمایز سلول‌های مزانشیمال جداسازی شده به سلول‌های کندروسیت می‌باشد. اما تفاوت، در میزان سلول‌های بیان کننده این ماکرومولکول‌ها در شرایط مطرح شده می‌باشد. با گذشت زمان در بررسی بیان پروتئوگلیکان‌های سولفاته از روز صفر تا روز چهاردهم از تمایز، افزایش تعداد سلول‌های بیان کننده این ماکرومولکول‌ها در شرایطی که سلول‌ها درون مهره‌های آژینات قرار داشتند نسبت به سلول‌های کنترل کشت داده شده، گویای این مطلب است که سلول‌های مزانشیمال بیشتری درون مهره‌های آژینات به سلول‌های کندروسیت تمایز می‌یابند. بنابراین می‌توان این گونه نتیجه گرفت که مهره‌های آژینات شرایط مطلوب‌تری را برای تمایز سلول‌های مزانشیمال به سلول‌های کندروسیت نسبت به کنترل مهیا می‌کنند.

از تست‌های انجام شده در رابطه با تأیید و چگونگی تمایز سلول‌های مزانشیمال به سلول‌های کندروسیت، بررسی بیان

## منابع

- Bahrami, S., Stratmann, U., Wiesmann, h., Mokrys, K., Bruckner, P., and Szuwart, T., 2000. Periosteally derived osteoblast-like cells differentiate into chondrocytes in suspension culture in agarose. *Journal of The Anatomical record*. 259, PP: 124-130.
- Ballock, R. T., and Reddi, A. H., 1994. Thyroxine is the serum factor that regulates morphogenesis of columnar cartilage from isolated chondrocytes in chemically defined medium. *Journal of Cell biology*. 126, PP: 1311-1318.
- Barry, F. P., and Murphy, J. M., 2004. Mesenchymal stem cells: clinical applications and biological characterization. *The International Journal of Biochemistry & Cell Biology*. 36, PP: 568-584.
- Bianco, P., and Robey, P. G., 2001. Stem cells in tissue engineering. *Journal of Nature*. 414: 6859, PP: 118-121.
- Bochev, I., Elmadjian, G., Kyurkchiev, D., Tzvetanov, L., Altankova, I., Tivchev, P., and Kyurkchiev, S., 2008. Mesenchymal stem cells from human bone marrow or adipose tissue differently modulate mitogen-stimulated B-cell immunoglobulin production *In vitro*. *Journal of Cell Biology International*. 32, PP: 384-393.
- Bucco, M., Ghidoni, I., et al., 2008. Alginate cell encapsulation: new advances in reproduction and cartilage regenerative medicine. *Cytotechnology*. 58, PP: 49-56.
- Chen, G., Liu, D., Tadokoro, M., Hirochika, R., Ohgushi, H., Tanaka, J., and Tateish, T., 2004. Chondrogenic differentiation of human mesenchymal stem cells cultured in a cobweb-like biodegradable scaffold. *Journal of Biochemical and Biophysical Research Communications*. 322, PP: 50-55
- Chen, Y., Shao, J., Xiang, L., Dong, X., and Zhan, G., 2008. Mesenchymal stem cells: A promising

- candidate in regenerative medicine. International Journal of Biochemistry & Cell Biology. 40, PP: 815–820.
- 9.Dawson, E., Mapili, G., Erickson, K., Taqvi, S., and Roy, K., 2008. Biomaterials for stem cell differentiation. Journal of Advanced Drug Delivery Reviews. 60, PP: 215–228.
- 10.Drury, J. L., and Mooney, D. J., 2003. Hydrogels for tissue engineering: scaffold design variables and applications. Journal of Biomaterials, 24, PP: 4337–4351.
- 11.Gimble, J., and Guilak, F., 2003. Adipose-derived adult stem cells: isolation, characterization, and differentiation potential. Journal of Cytotherapy, 5, PP: 362–9.
- 12.Gomillion, C. T., and Burg, K. J. L., 2006. Stem cells and adipose tissue engineering. Biomaterials. 27, PP: 6052-6063.
- 13.Iwasaki, M., Nakata, K., Nakahara, H., Nakase, T., Kimura, T., Kimata, K., Capla, N. A. I., and Ono, K., 1993. Transforming Growth Factor- $\beta$ 1 Stimulates Chondrogenesis and Inhibits Osteogenesis in High Density Culture of Periosteum-Derived Cells. Journal of Endocrinology. 132, PP: 1603-1608.
- 14..Liao, S., Chan, C. K., and Ramakrishna, S., 2008. Stem cells and biomimetic materials strategies for tissue engineering. Journal of Materials Science and Engineering C. 28, PP: 1189–1202.
- 15.Merceron, C., Vinatier, C., Clouet, J., Collicet-Jouault, S., Weiss, P., and Guicheux, J., 2008. Adipose-derived mesenchymal stem cells and biomaterials for cartilage tissue engineering. Joint Bone Spine. 75:6, PP: 672-674.
- 16.Nair, L. S., and Laurencin, C. T., 2007. Biodegradable polymers as biomaterials Journal of Progress in Polymer Science. 32, PP: 762–798.
- 17.Nardi, N. Beyer, and da Silva Meirelles, L., 2006. "Mesenchymal Stem Cells: Isolation, In Vitro Expansion and Characterization". Anna M., Boheler, Kenneth. Stem Cells. Handbook of experimental pharmacology. 174, PP: 249–82.
- 18.Sachlos, E., and Czernuszka, J. T., 2003. Making tissue engineering scaffolds work. Review on the application of solid freeform fabrication technology to the production of tissue engineering scaffolds. Journal of European Cells and Materials. 5, PP: 29-40.
- 19.Sethe, S., Scutt, A., and Stolzing, A., 2006. Aging of mesenchymal stem cells. Journal of Ageing Research Reviews. 5, PP: 91–116.
- 20.Shin, H., Jo, S., and Mikos, A. G., 2003. Biomimetic materials for tissue engineering. Biomaterials, 24, PP: 4353-4364.
- 21.Steedman, H. F., 1950. Alcian blue 8GS, A new stain for mucin. Quarterly Journal of Microscopic Science. 91, PP: 477-479.
- 22.Stokes, D. G., Liu, G., Dharmavaram, R., Hawkins, D., Piera-velazquez, S., and Jimenez, A., 2001. Regulation of type II collagen gene expression during human chondrocyte dedifferentiation and recovery of chondrocyte-specific phenotype in culture involves Sry-type high-mobility-group (SOX) transcription factors. Journal of Biochemical. 360, PP: 461-470.
- 23.Tae, S., Lee, S., Park, J., and Im, G., 2006. Mesenchymal stem cells for tissue engineering and regenerative medicine, Biomed. Mater. 1, PP: 63–71.
- 24.Yang, I. H., Kim, S., Kim, Y. H., Sun, H. J., Kim, S. J., and Lee, j. W., 2004. Comparison of phenotypic characterization between Alginic bead and pellet culture systems as chondrogenic differentiation models for human mesenchymal stem cells. Journal of Yonsei Medical Journal, 45, PP: 891-900.
- 25.Zeiter, S., Lezuo, P., Ito, K., 2009. Effect of TGF beta1, BMP-2 and hydraulic pressure on chondrogenic differentiation of bovine bone marrow mesenchymal stromal cells. Biorheology. 46(1), PP: 45-55.

## Alginate biopolymer as a 3-dimentional microenvironment for differentiation of human mesenchymal stem cells to chondrocytes

Deezagi A.Kh., Hodaie L. and Soheili Z.S.

Biochemistry and Basic Science Dept., National Institute of Genetic Engineering and Biotechnology,  
Tehran, I.R. of Iran

### Abstract

The aim of this research was to study the potency of Alginate biopolymer as a microenvironment for differentiation of human adipose tissue derived mesenchymal stem cells (hAMSCs) to chondrocytes. For this purpose human adipose tissue was prepared from health voluntary donors with liposuction and digested by collagenase type. The mesenchymal stem cells cultured in alginate beads in presence of TGF- $\beta$ 1 and ascorbic acid. Alcian blue staining was done to show the differentiation of mesenchymal stem cell to chondrocytes. RT-PCR was done for the evaluation of collagen type II gene expression as a chondrocytic molecular marker. Immunocytochemical staining of isolated cells by anti human Vimentin antibody indicated to more than 95% of positive cells as hAMSCs. After induction of chondrogenic differentiation in alginate beads, alcian blue staining showed expression of sulphated proteoglycans in chondrocytes. Positive stained cells in controls and alginate beaded cultured cells indicated to ( $36.5\% \pm 0.7$  and  $56.5 \pm 4.9$  at day 3) and ( $83\% \pm 2.8$  and  $93 \pm 2.8$  at day 14) respectively. RT-PCR results indicated to the expression of collagen type II in alginate bead cultured cells and the comparison of results by controls indicated to significant increased expression in alginate bead cultured cells. ( $43\% \pm 4.5$  and  $70 \pm 5$  at day 3) and ( $54\% \pm 2.8$  and  $77 \pm 1.4$  at day 14) respectively. In conclusion, our result indicated and supported the using of alginate beads as 3 dimentional culture system in tissue engineering for chondrogenic culture system.

**Key words:** Adipose Tissues Derived Mesanchymal Stem cells, Alginate Scaffold, Chondrogenic differentiation.